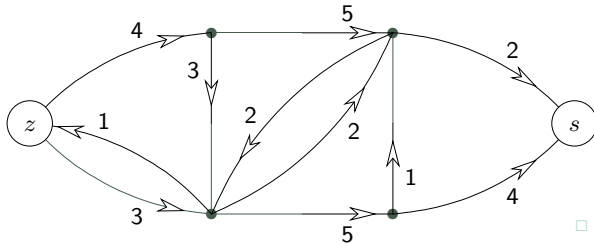


## 4 Toky v sítích

Nyní se podíváme ještě na jednu oblast úloh, kde našla teorie grafů bohaté uplatnění. Jde o oblast tzv. „síťových“ úloh, kde se jedná (třeba) o potrubní síť přepravující vodu nebo plyn, o dopravní síť silnic s přepravou zboží, nebo o datovou (počítačovou) síť.

Obvykle nás zajímá problém přenést z daného *zdroje* do daného cíle čili *stoku* co nejvíce substancí, za omezujících podmínek kapacit jednotlivých přepravních cest.



### Stručný přehled lekce

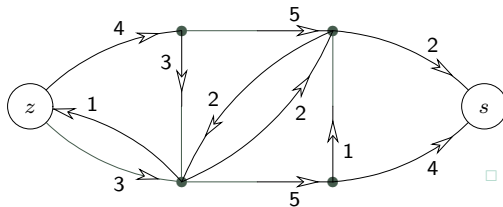
- Definice sítě (ohodnoceného orientovaného grafu) a toku v ní.
- Algoritmus nenasycených cest; jeho vylepšené verze.
- Důsledky pro souvislost, párování a výběr reprezentantů, apod.

## 4.1 Definice sítě a toku

Základní strukturou pro reprezentaci sítí je orientovaný graf. Vrcholy grafu modelují jednotlivé uzly sítě a hrany jejich spojnice.

**Definice 4.1.** Síť je čtveřice  $S = (G, z, s, w)$ , kde

- $G$  je orientovaný graf,
- vrcholy  $z \in V(G)$ ,  $s \in V(G)$  jsou **zdroj** a **stok**,
- $w : E(G) \rightarrow \mathbf{R}^+$  je kladné ohodnocení hran, zvané **kapacita hran**.



**Poznámka:** V praxi může být zdrojů a stoků více, ale v definici stačí pouze jeden zdroj a stok, z něhož / do nějž vedou hrany do ostatních zdrojů / stoků. (Dokonce pak různé zdroje a stoky mohou mít své kapacity.)

**Značení:** Pro jednoduchost píšeme ve výrazech znak  $e \rightarrow v$  pro hranu  $e$  přicházející do vrcholu  $v$  a  $e \leftarrow v$  pro hranu  $e$  vycházející z  $v$ .  $\square$

**Definice 4.2.** **Tok** v síti  $S = (G, z, s, w)$

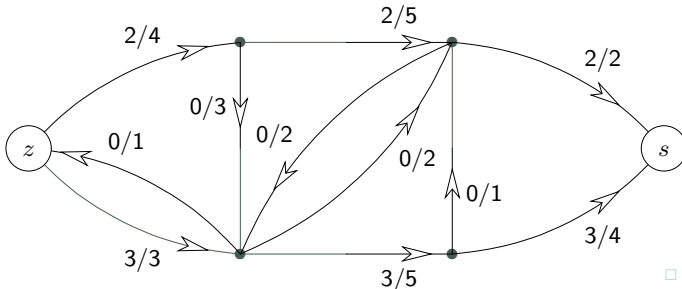
je funkce  $f : E(G) \rightarrow \mathbf{R}_0^+$  splňující

- $\forall e \in E(G) : 0 \leq f(e) \leq w(e),$  (respektování kapacity)
- $\forall v \in V(G), v \neq z, s : \sum_{e \rightarrow v} f(e) = \sum_{e \leftarrow v} f(e).$  (zachování substance)  $\square$

**Velikost toku**  $f$  je dána výrazem  $\|f\| = \sum_{e \leftarrow z} f(e) - \sum_{e \rightarrow z} f(e).$   $\square$

**Značení:** Tok a kapacitu hran v obrázku síť budeme zjednodušeně zapisovat ve formátu  $F/C$ , kde  $F$  je hodnota toku na hraně a  $C$  je její kapacita.

Neformálně tok znamená, kolik substance je každou hranou zrovna přenášeno. Tok je pochopitelně nezáporný a dosahuje nejvýše dané kapacity hrany.



Ve vyobrazeném příkladě vede ze zdroje vlevo do stoku vpravo tok o celkové velikosti 5. □

**Poznámka:** Obdobně se dá velikost toku definovat u stoku, neboť

$$0 = \sum_{e \in E} (f(e) - f(e)) = \sum_{v \in V} \left( \sum_{e \leftarrow v} f(e) - \sum_{e \rightarrow v} f(e) \right) = \sum_{v=z,s} \left( \sum_{e \leftarrow v} f(e) - \sum_{e \rightarrow v} f(e) \right).$$

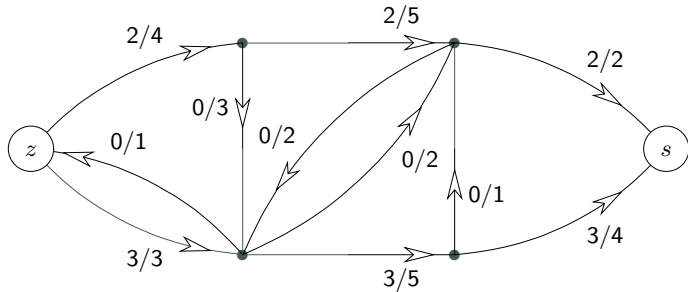
(Sčítance uprostřed předchozího vztahu nabývají nulové hodnoty pro všechny vrcholy  $v$  kromě  $z$  a  $s$  dle definice toku.) Proto velikost toku počítaná u zdroje je rovna opačné velikosti toku počítaného u stoku.

## 4.2 Hledání maximálního toku

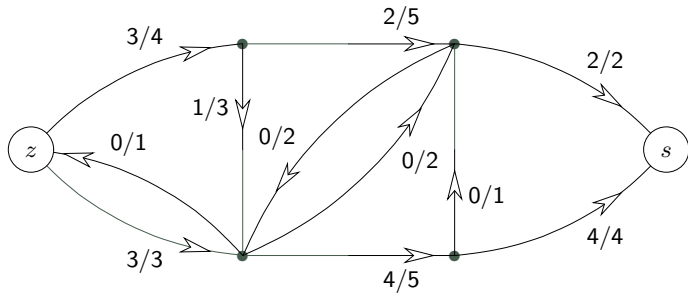
Naším úkolem je najít co největší tok v dané síti. Pro jeho nalezení existují jednoduché a velmi rychlé algoritmy.

### Problém 4.3. Maximálního toku v síti

Je dána síť  $S = (G, z, s, w)$  a našim úkolem je pro ni najít co největší tok ze zdroje  $z$  do stoku  $s$  vzhledem k ohodnocení  $w$ .  $\square$



Tok velikosti 5 uvedený v ukázce v předchozí části nebyl optimální, neboť v této síti najdeme i tok velikosti 6:



Jak však poznáme, že větší tok již v dané síti neexistuje? V této konkrétní ukázce to není obtížné, vidíme totiž, že obě dvě hrany přicházející do stoku mají součet kapacit  $2 + 4 + 6$ , takže více než 6 do stoku ani přitéct nemůže.  $\square$

V obecnosti lze použít obdobnou úvahu, kdy najdeme podmnožinu hran, které nelze tokem „obejít“ a které v součtu kapacit dají velikost našeho toku. Existuje však taková množina hran vždy? Odpověď nám dá následující definice a věta.

## Pojem řezu v síti

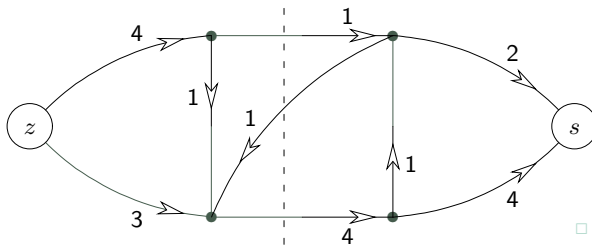
**Definice 4.4.** Řez v síti  $S = (G, z, s, w)$

je podmnožina hran  $C \subset E(G)$  taková, že v podgrafu  $G - C$  (tj. po odebrání hran  $C$  z  $G$ ) nezbude žádná orientovaná cesta ze  $z$  do  $s$ .

**Velikostí** řezu  $C$  rozumíme součet kapacit hran z  $C$ , tj.  $\|C\| = \sum_{e \in C} w(e)$ .  $\square$

**Věta 4.5.** Maximální velikost toku v síti je rovna minimální velikosti řezu.

Na následujícím obrázku vidíme trochu jinou síť s ukázkou netriviálního minimálního řezu velikosti 5, naznačeného svislou čárkovanou čarou. Všimněte si dobře, že definice řezu mluví o přerušení všech orientovaných cest ze  $z$  do  $s$ , takže do řezu stačí započítat hrany jdoucí přes svislou čáru od  $z$  do  $s$ , ale ne hranu jdoucí zpět. Proto je velikost vyznačeného řezu  $1 + 4 = 5$ .

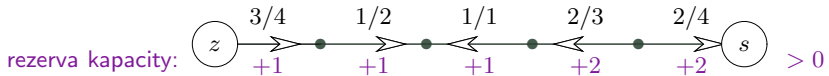


## Nenasycené cesty v síti

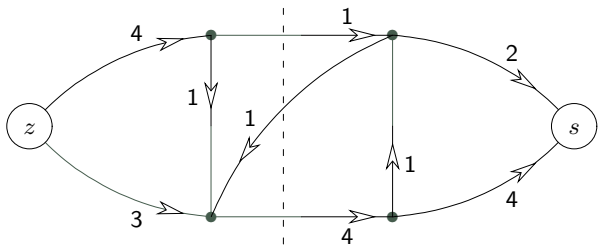
**Definice:** Mějme síť  $S$  a v ní tok  $f$ . **Nenasycená cesta** (v  $S$  vzhledem k  $f$ ) je neorientovaná cesta v  $G$  z vrcholu  $u$  do vrcholu  $v$  (obvykle ze  $z$  do  $s$ ), tj. posloupnost navazujících hran  $e_1, e_2, \dots, e_m$ , kde  $f(e_i) < w(e_i)$  pro  $e_i$  ve směru z  $u$  do  $v$  a  $f(e_i) > 0$  pro  $e_i$  v opačném směru. □

Hodnotě  $w(e_i) - f(e_i)$  pro hrany  $e_i$  ve směru z  $u$  do  $v$  a hodnotě  $f(e_i)$  pro hrany  $e_i$  v opačném směru říkáme **rezerva kapacity** hran  $e_i$ . Nenasycená cesta je tudíž cesta s kladnými rezervami kapacit všech hran. □

Zde vidíme příklad nenasycené cesty ze zdroje do stoku s minimální rezervou kapacity +1.



Všimněte si dobře, že cesta není orientovaná, takže hrany na ní jsou v obou směrech.



### Algoritmus 4.7. Ford–Fulkersonův pro tok v síti.

vstup síť  $S = (G, z, s, w)$ ;

tok  $f \equiv 0$ ;

repeat {

Prohledáváním grafu najdeme množinu  $U$  vrcholů  $G$ ,

do kterých se dostaneme ze  $z$  po nenasycených cestách;

if ( $s \in U$ ) {

$P$  = (výše nalezená) nenasycená cesta v  $S$  ze  $z$  do  $s$ ;

Zvětšíme tok  $f$  o minimální rezervu kapacity hran v  $P$ ;

}

until ( $s \notin U$ );

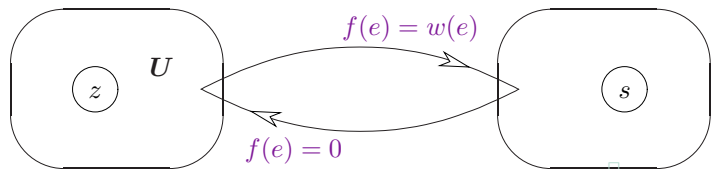
výstup vypíšeme maximální tok  $f$ ;

výstup vypíšeme min. řez jako množinu hran vedoucích z  $U$  do  $V(G) - U$ .

## Důkaz správnosti Algoritmu 4.7:

Pro každý tok  $f$  a každý řez  $C$  v síti  $S$  platí  $\|f\| \leq \|C\|$ . Jestliže po zastavení algoritmu s tokem  $f$  nalezneme v síti  $S$  řez o stejně velikosti  $\|C\| = \|f\|$ , je jasné, že jsme našli maximální možný tok v síti  $S$ . (Pozor, zastavení algoritmu jsme zatím nezdůvodnili.)  $\square$

Takže dokažme, že po zastavení algoritmu nastane rovnost  $\|f\| = \|C\|$ , kde  $C$  je vypsaný řez mezi  $U$  a zbytkem grafu  $G$ . Vezměme tok  $f$  v  $S$  bez nenasycené cesty ze  $z$  do  $s$ . Pak množina  $U$  z algoritmu neobsahuje  $s$ . Schematicky vypadá situace takto:



Jelikož z  $U$  žádné nenasycené cesty dále nevedou, má každá hrana  $e \leftarrow U$  (odch. z  $U$ ) plný tok  $f(e) = w(e)$  a každá hrana  $e \rightarrow U$  (přich. do  $U$ ) tok  $f(e) = 0$ , takže

$$\sum_{e \leftarrow U} f(e) - \sum_{e \rightarrow U} f(e) = \sum_{e \leftarrow U} f(e) = \sum_{e \in C} w(e) = \|C\| .$$

To je přesně, co jsme chtěli dokázat o výsledném toku. Zbývá nahlédnout, že  $\|C\| = \sum_{e \leftarrow U} f(e) - \sum_{e \rightarrow U} f(e) = \|f\|$ , a důkaz je hotov.  $\square$

Z důkazu Algoritmu 4.7 odvodíme několik zajímavých faktů:

**Fakt:** Pokud zajistíme, že Algoritmus 4.7 vždy skončí, dokážeme i platnost Věty 4.5. □

**Fakt:** Pro celočíselné kapacity hran sítě  $S$  Algoritmus 4.7 vždy skončí.

**Důsledek 4.8.** Pokud jsou kapacity hran celočíselné, opt. tok také vyjde celočíselně. □

### Vylepšení algoritmu nenasycených cest

Bohužel pro reálná čísla kapacit hran není skončení Algoritmu 4.7 vůbec zaručeno, dokonce se dají najít extrémní případy, které nepovedou k řešení ani v limitě. Proto je potřebné základní algoritmus (i pro potřeby teorie) poněkud vylepšit. □

### Algoritmus 4.9. Edmonds–Karpův pro tok v síti

V Algoritmu 4.7 vždy sytíme nejkratší nenasycenou cestu, neboli prohl. naší síť do šířky (viz množina  $U$ ).

Tato implementace zaručeně skončí po  $O(|V(G)| \cdot |E(G)|)$  iteracích cyklu, celkem tedy v čase  $O(|V(G)| \cdot |E(G)|^2)$ .

Ještě lepších výsledků dosahují následující "chytré" algoritmy.

### **Algoritmus 4.10. Dinicův pro tok v síti** (náznak)

V intencích Algoritmu 4.7 provádíme následující iterace:

- Prohledáváním sítě do šířky nalezneme všechny nenasycené cesty nejkratší délky souběžně, které nám vytvoří "vrstvenou síť" (vrstvy odpovídají nenasycené vzdálenosti vrcholů od zdroje).
- Nalezené nenasycené cesty pak nasytíme novým prohledáním vrstvené sítě.

Tato implementace zaručeně skončí už po  $O(|V(G)|)$  iteracích cyklu, ale jednotlivé iterace jsou poněkud náročnější,  $O(|V(G)| \cdot |E(G)|)$ . □

### **Algoritmus 4.11. MPM („Tří Indů“) pro tok v síti** (náznak)

Postupuje se stejně jako v Algoritmu 4.10, jen nesycení v druhém bodě proběhne rychlejším algoritmem v čase  $O(|V(G)|^2)$  v každé iteraci, celkem tedy v  $O(|V(G)|^3)$ .

## 4.3 Zobecnění definice sítí

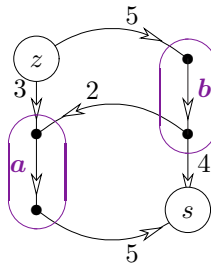
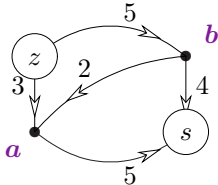
Pojmy sítě a toků v ní lze zobecnit několika směry. My si zde stručně uvedeme tři možnosti.

### Sítě s kapacitami vrcholů

U sítě můžeme zadat i *kapacity vrcholů*, neboli kapacitní váhová funkce je dána jako  $w : E(G) \cup V(G) \rightarrow \mathbf{R}^+$ .

Význam pro přípustné toky v takové síti je, že žádným vrcholem nemůže celkem „protéct“ více než povolené množství substance. □

**Fakt.** Takovou síť „zdvojením“ vrcholů snadno převedeme na běžnou síť, ve které kapacity původních vrcholů budou uvedeny u nových hran spojujících zdvojené vrcholy. Viz neformální schéma:



## Sítě s dolními kapacitami

Pro hrany sítě lze zadat také jejich *minimální kapacity*, tedy dolní meze příp. toku.

To je modelováno druhou (vedle  $f$ ) váhovou funkcí  $\ell : E(G) \rightarrow \mathbf{R}_0^+$ . Přípustný tok pak musí splňovat  $\ell(e) \leq f(e) \leq w(e)$  pro všechny hrany  $e$ .  $\square$

V této modifikaci úlohy již přípustný tok **nemusí vůbec existovat**.

### Algoritmus 4.12. Tok v síti s dolními kapacitami

I tuto úlohu lze řešit dosud uvedenými nástroji, pokud postupujeme ve dvou fázích:  $\square$

- Nejprve nalezneme přípustnou *cirkulaci* v síti vzniklé přidáním „zpětné“ hrany  $sz$ . Toho lze dosáhnout hledáním toku ve speciální síti vyjadřující „přebytky“ (či nedostatky) dolních mezí toku v jednotlivých vrcholech.
- Poté z přípustné cirkulace jako výchozího stavu už získáme maximální tok kterýmkoliv algoritmem pro toky.  $\square$

## Tzv. vícekomoditní toky

V síti lze najednou přepravovat více typů substancí. To vede na problém tzv. *vícekomoditních toků* v síti. Tento problém je složitější, už není v obecnosti snadno řešitelný a přesahuje rámec našeho textu, takže se jím nebudeme zabývat.

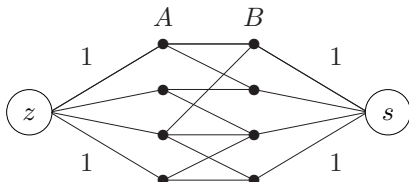
## 4.4 Speciální aplikace sítí

### Bipartitní párování

**Definice:** Párování v (nyní bipartitním) grafu  $G$  je podmnožina hran  $M \subset E(G)$  taková, že žádné dvě hrany z  $M$  nesdílejí koncový vrchol.  $\square$

### Algoritmus 4.13. Nalezení bipartitního párování

Pro daný bipartitní graf  $G$  s vrcholy rozdělenými do množin  $A, B$  sestrojíme síť  $S$  následovně:



Všechny hrany sítě  $S$  orientujeme od zdroje do stoku a přiřadíme jím kapacity 1. Nyní najdeme (celočíselný) maximální tok v  $S$  Algoritmem 4.7. Do párování vložíme ty hrany grafu  $G$ , které mají nenulový tok.  $\square$

**Důkaz** správnosti Algoritmu 4.13: Podle Důsledku 4.8 bude maximální tok celočíselný, a proto každou hranou poteče buď 0 nebo 1. Tím budou vybrány hrany párování a podle zadaných kapacit nebudou sdílet koncové vrcholy.  $\square$

## Vyšší grafová souvislost

Představme si, že na libovolném grafu  $G$  definujeme zobecněnou síť tak, že kapacity všech hran a všech vrcholů položíme rovny 1 v obou směrech. Pak máme:

**Důsledek 4.14.** *Nechť  $u, v$  jsou dva vrcholy grafu  $G$  a  $k > 0$  je přirozené číslo. Pak mezi vrcholy  $u$  a  $v$  existuje v  $G$  aspoň  $k$  disjunktních cest, právě když po odebrání libovolných  $k - 1$  vrcholů různých od  $u, v$  z  $G$  zůstanou  $u$  a  $v$  ve stejné komponentě souvislosti zbylého grafu.* □

Použitím tohoto tvrzení pro všechny dvojice vrcholů grafu snadno dokážeme dříve uvedenou důležitou Větu 2.7 (Mengerovu).

## Výběr různých reprezentantů

**Definice:** Nechté  $M_1, M_2, \dots, M_k$  jsou neprázdné množiny. *Systémem různých reprezentantů* množin  $M_1, M_2, \dots, M_k$  nazýváme takovou posloupnost **různých** prvků  $(x_1, x_2, \dots, x_k)$ , že  $x_i \in M_i$  pro  $i = 1, 2, \dots, k$ .  $\square$

**Věta 4.15.** (Hall) Nechté  $M_1, M_2, \dots, M_k$  jsou neprázdné množiny. Pro tyto množiny existuje systém různých reprezentantů, právě když platí

$$\forall J \subset \{1, 2, \dots, k\} : \left| \bigcup_{j \in J} M_j \right| \geq |J|,$$

neboli pokud sjednocení libovolné skupiny z těchto množin má alespoň tolik prvků, kolik množin je sjednocoeno.

Důkaz lze podat konstrukcí vhodné sítě podobné té v Algoritmu 4.13:  $\square$

- Speciální vrcholy  $u$  a  $v$  odpovídají zdroji a stoku,
- další vrcholy reprezentují prvky a množiny naší úlohy,  $\square$
- ostatní hrany přicházející do vrcholu  $x_j$  znázorňují všechny z daných množin, které obsahují prvek  $x_j$ .

**Poznámka:** Tento důkaz nám také dává návod, jak systém různých reprezentantů pro dané množiny nalézt – stačí použít Algoritmus 4.7 na vhodně odvozenou síť.

## Segmentace obrazu

Jedním ze základních problémů počítačového vidění je segmentace obrazu na popředí a pozadí.

K jeho řešení lze (mezi mnoha jinými přístupy) zvolit i následující postup:

- Vstupem je matice obrazových bodů (pixelů), z nichž každý má přiřazeny hodnoty pravděpodobnosti bytí v popředí a bytí v pozadí. Dále jsou určeny „separační penalizace“ pro dvojice sousedních pixelů. □
- Sítí zkonztruujeme přidáním univerzálního zdroje  $z$  a stoku  $s$ , přičemž hrany ze  $z$  do pixelů mají kapacitu rovnou pravděpodobnosti bytí v popředí a hrany do  $s$  obdobně pro pozadí. Hrany mezi sousedními pixely jsou obousměrné s kapacitami rovnými zmíněným penalizacím.
- Minimální řez v této síti poté určuje „přechody“ mezi popředím a pozadím daného obrazu.